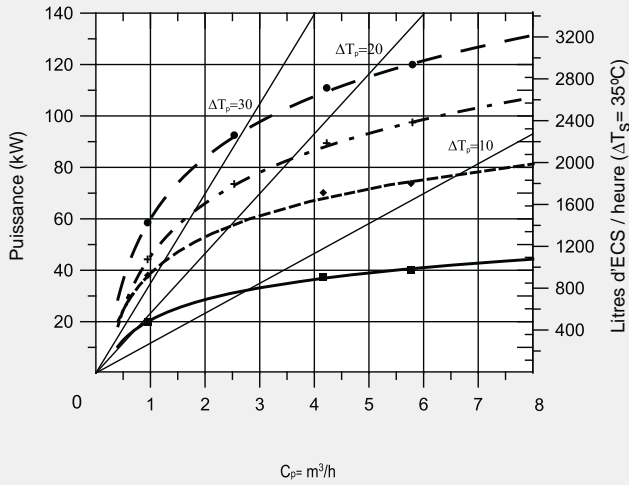


## G-800/1000/1500-IS et MV-1500/2000-IS

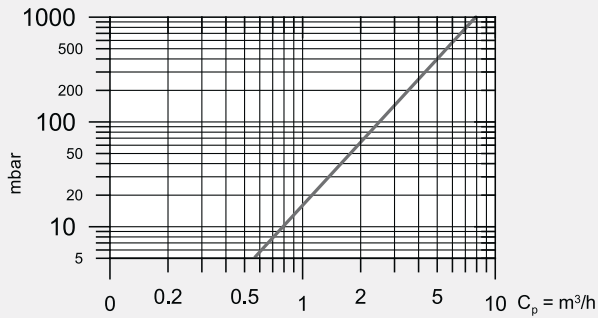
$T_{ep} = 90\text{ }^{\circ}\text{C}$        $T_{ep} = 70\text{ }^{\circ}\text{C}$   
  $T_{ep} = 80\text{ }^{\circ}\text{C}$        $T_{ep} = 55\text{ }^{\circ}\text{C}$

### G-800/1000-IS

Courbes de performance en fonction de différents débits et températures du circuit primaire pour une production d'ECS de 10°C à 45°C

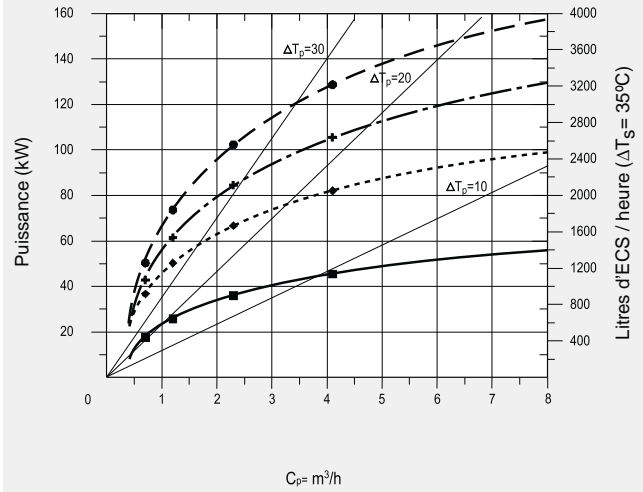


Pertes de charge entre les connexions d'entrée et sortie du circuit primaire pour différents débits de circulation.

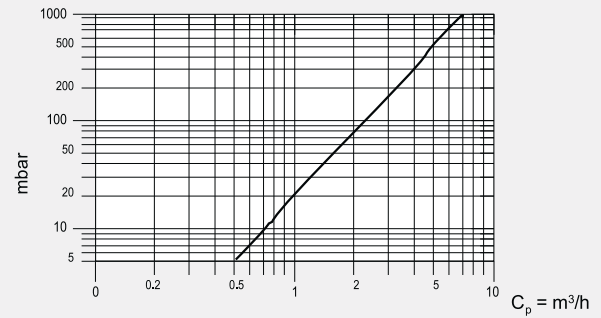


### MV-1500/2000-IS

Courbes de performance en fonction de différents débits et températures du circuit primaire pour une production d'ECS de 10°C à 45°C



Pertes de charge entre les connexions d'entrée et sortie du circuit primaire pour différents débits de circulation.

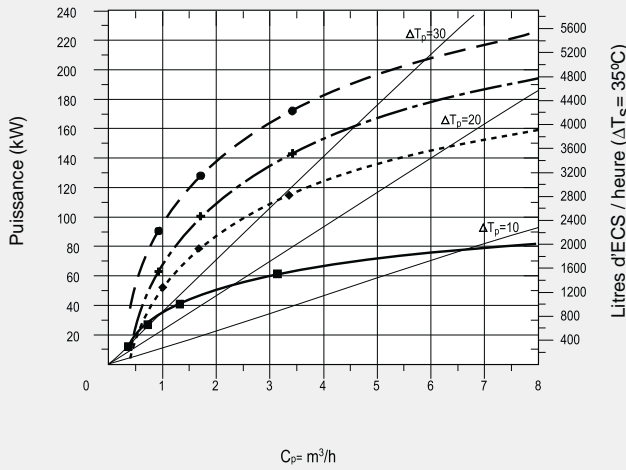


## MV-2500/3000/3500/4000/5000-IS

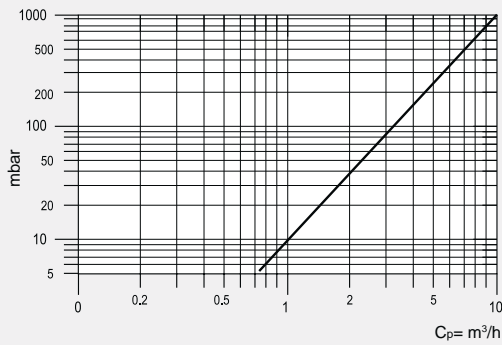
$T_{ep} = 90\text{ }^{\circ}\text{C}$        $T_{ep} = 70\text{ }^{\circ}\text{C}$   
  $T_{ep} = 80\text{ }^{\circ}\text{C}$        $T_{ep} = 55\text{ }^{\circ}\text{C}$

### MV-2500/3000-IS

Courbes de performance en fonction de différents débits et températures du circuit primaire pour une production d'ECS de 10°C à 45°C

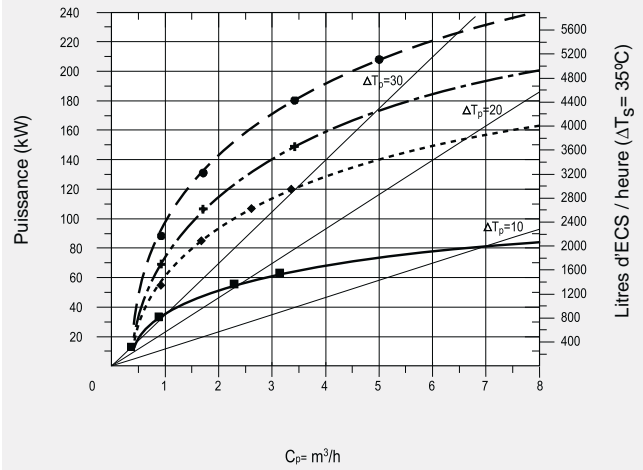


Pertes de charge entre les connexions d'entrée et sortie du circuit primaire pour différents débits de circulation.



### MV-3500/4000/5000-IS

Courbes de performance en fonction de différents débits et températures du circuit primaire pour une production d'ECS de 10°C à 45°C



Pertes de charge entre les connexions d'entrée et sortie du circuit primaire pour différents débits de circulation.

